

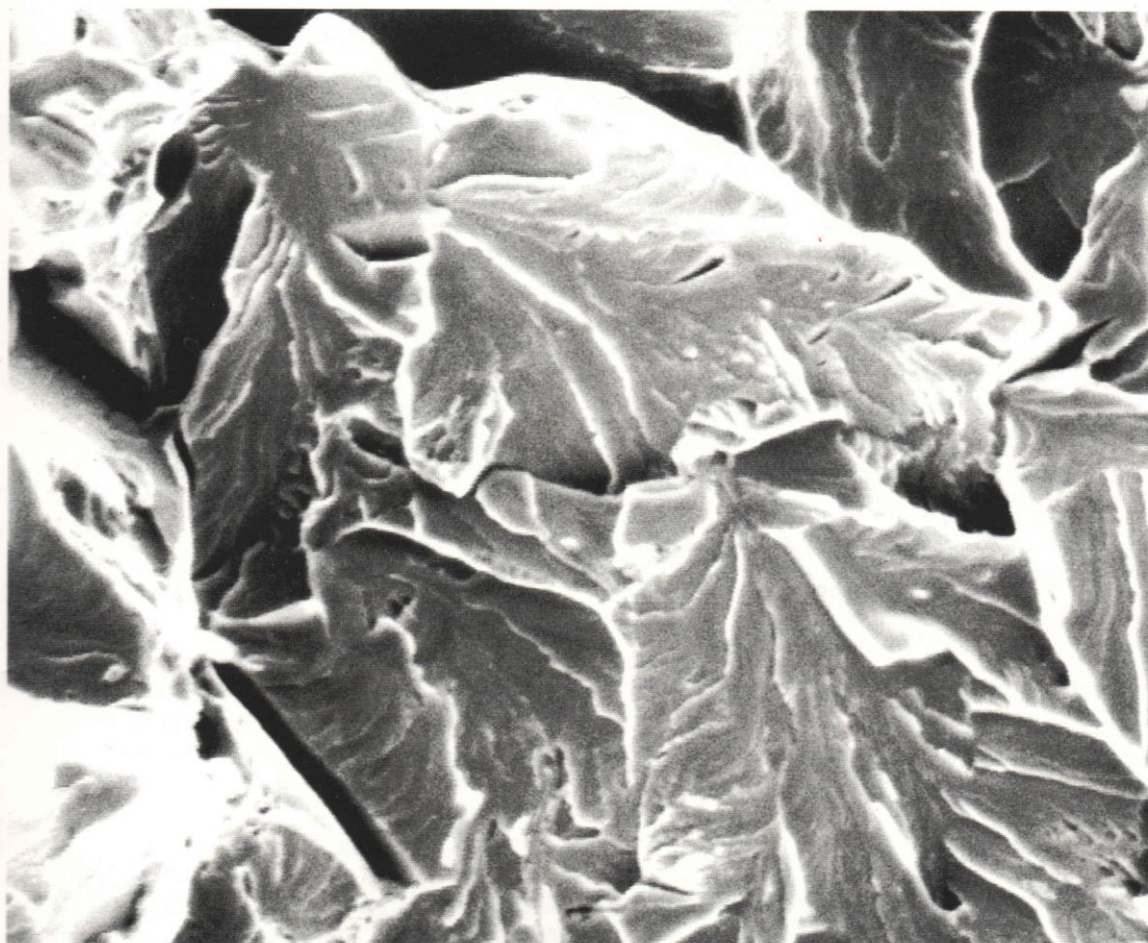
ISSN 2073-9583

Metal Science & Treatment of Metals

MON

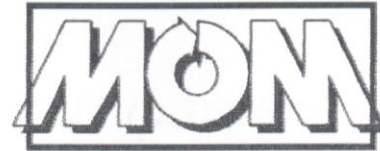
4' 14

**МЕТАЛОЗНАВСТВО
ТА ОБРОБКА МЕТАЛІВ**



**ФІЗИКО-ТЕХНОЛОГІЧНИЙ ІНСТИТУТ МЕТАЛІВ ТА СПЛАВІВ НАНУ
КИЇВ**

НАУКОВО-ТЕХНІЧНИЙ ЖУРНАЛ
**МЕТАЛОЗНАВСТВО
ТА ОБРОБКА
МЕТАЛІВ**



ISSN 2073-9583

4'2014 (72)

*Журнал видається з 1995 р.
виходить чотири рази на рік*

Свідоцтво про Державну реєстрацію - серія КВ, № 16383 - 4855Р

Фізико-технологічний інститут металів та сплавів НАН України

ЗМІСТ

ФАЗОВІ ПЕРЕТВОРЕННЯ

- 3** С. Я. Шипицин, Д. М. Короленко, Н. Я. Золотар, А. Є. Шишкін
Вплив нітридного зміцнення на фазові перетворення та формування структури високовуглецевої сталі при охолодженні після аустенітизації
- 11** О. І. Юркова, В. В. Чернявський, Ю. М. Романенко
Структура та фазовий склад високоентропійного AlCuNiFeTi сплаву, отриманого методом механічного легування
- 18** В. І. Мазур, П. І. Лобода
Локальні фазові рівноваги та кінетика екстектичного перетворення в бінарних сплавах

СТРУКТУРА, ЗНОШУВАННЯ, РУЙНУВАННЯ

- 25** С. Є. Кондратюк, О. М. Стоянова, Ж. В. Пархомчук
Характеристики руйнування при модифікуванні сталей дисперсно-структурованими модифікаторами
- 31** М. А. Погрібний, О. Є. Вуєць
Вплив термічної обробки на зносостійкість сталі 15X11МФ

СТРУКТУРА І ФІЗИКО-МЕХАНІЧНІ ВЛАСТИВОСТІ

- 37** Є. Г. Биба, П. І. Лобода
Формування структури та властивостей титан-матричного композиту залежно від методу спікання

ТЕХНІЧНА ІНФОРМАЦІЯ

- 43** В. В. Суменкова, О. А. Щерецький
Дослідження процесів, що відбуваються при нагріванні феросилікомагнієвої лігатури ФСМг7
- 47** Л. А. Сосновський, О. В. Власова, М. Є. Головкова
Дослідження процесів утилізації порошкових відходів сталі ШХ15

УДК 620.22:620.187.22:534.442.3

Структура та фазовий склад високоентропійного AlCuNiFeTi сплаву, отриманого методом механічного легування

О. І. Юркова, доктор технічних наук, професор

В.В. Чернявський, Ю.М. Романенко

Національний технічний університет України «КПІ», Київ

Методами скануючої електронної мікроскопії та рентгеноструктурного аналізу досліджено особливості формування фазового складу та структури порошкового еквіатомного високоентропійного AlCuNiFeTi сплаву на різних етапах механічного легування (МЛ) в планетарному млині. Встановлено, що на протязі 20 годин відбувається формування однофазного нанокристалічного високоентропійного сплаву зі структурою ОЦК-твердого розчину.

Розвиток багатьох галузей промисловості потребує нових конструкційних матеріалів з підвищеним рівнем експлуатаційних та споживчих властивостей. У розв'язанні цієї проблеми зростаючий інтерес вчених та інженерів привертають високоентропійні сплави (ВЕС) [1, 4]. ВЕСи відносяться до класу металевих матеріалів, є багатокомпонентними сплавами та містять 5 і більше металевих елементів, при цьому концентрація кожного може змінюватися від 5 до 35 ат.% в залежності від кількості компонентів у сплаві [3-7].

Дослідження ВЕСів почалось з робіт J.-W. Yeh та ін. [1, 2], який запропонував нову концепцію створення металевих сплавів, що базується на досягненні високої ентропії змішування різних компонентів з концентрацією близькою до еквімолярної, для значного зменшення вільної енергії Гіббса та стабілізації твердого розчину з відносно простою кристалічною структурою і сприятливою комбінацією властивостей. Зазвичай ВЕС містять одну або дві фази – це тверді розчини заміщення з ОЦК або ГЦК-решіткою (отже, мають одну кристалічну решітку), або з ОЦК+ГЦК, або ОЦК + гексагональною кристалічною решіткою.

Величина ентропії в ВЕС набагато вища, ніж в традиційних сплавах, що пояснюється залежністю Больцмана: $\Delta S_{mix} = R \cdot \ln(n)$, де R – газова постійна, n – число хімічних елементів в сплаві [1, 8, 9]. Ентропія змішування для твердого розчину збільшується з малої величини в традиційних сплавах до великої ($S_{mix} > 11$ Дж·моль⁻¹·К⁻¹) у ВЕС.

Проста кристалічна структура зумовлює комбінацію унікальних властивостей, таких як, висока міцність, термостабільність, високий опір зношуванню та корозії, як при кімнатній, так і при високій температурі [4-6]. Висока термостабільність ВЕС

забезпечується завдяки високій ентропії змішування, що викликає гальмування процесів само- та гетеродифузії [1, 7]. З них можуть бути виготовлені як об'ємні матеріали, так і покриття, плівки для різних галузей промисловості. ВЕС достатньо просто досліджувати та контролювати, їх можна отримувати тими ж методами, що і традиційні сплави: литтям, швидким гартуванням розплаву, напиленням плівок, електролізом та механічним легуванням [2, 7]. Збільшення однорідності твердих розчинів під час обробки при кімнатній температурі є основною перевагою МЛ над литтям, особливо багатокомпонентних сплавів зі значними відмінностями в температурах плавлення вихідних компонентів. Крім того, МЛ забезпечує формування нанокристалічної структури, що сприяє поліпшенню механічних властивостей цих сплавів.

Метою роботи є дослідження перебігу перетворень фазового складу та структури еквіатомного сплаву системи Al-Cu-Ni-Fe-Ti під час механічного легування порошкової суміші компонентів.

В якості вихідної сировини обрано еквіатомну суміш порошків Al, Cu, Ni, Fe, Ti з чистотою $> 99,5\%$ та вихідним розміром частинок ≤ 45 мкм. Компоненти сплаву обирали виходячи з умов формування стабільних твердих розчинів у багатокомпонентних сплавах, які полягають в наступному: висока ентропія змішання ($\Delta S_{\text{mix}} > 11 \text{ Дж} \cdot \text{K}^{-1} \cdot \text{моль}^{-1}$), що є домінуючим чинником, контролюючим їх формування; незначна різниця атомних радіусів δ складових елементів ($\delta < 8,5 \%$); ентальпія змішання $-22 < \Delta H_{\text{mix}} < 7 \text{ кДж/моль}$ [4, 8].

За розрахунками, які проводили у відповідності з [1, 4, 8] та даними табл. 1, 2, для обраних компонентів сплаву системи Al-Cu-Ni-Fe-Ti встановлено, що ентропія змішання $\Delta S_{\text{mix}} = 1,61R = 13,38 \text{ Дж} \cdot \text{K}^{-1} \cdot \text{моль}^{-1}$, це значно вище значення ΔS_{mix} для традиційних сплавів; різниця атомних радіусів $\delta = 7,14 \%$ та ентальпія змішання $\Delta H_{\text{mix}} = -17,66 \text{ кДж} \cdot \text{моль}^{-1}$. Отримані дані відповідають умовам формування стабільних твердих розчинів ВЕС.

Таблиця 1.

Структура та температура плавлення елементів AlCuNiFeTi сплаву [8, 9]

Елемент	Структура	Атомний радіус, нм	Температура плавлення, К
Al	ГЦК	0,1432	933
Cu	ГЦК	0,1278	1356
Ni	ГЦК	0,1246	1726
Fe	ОЦК	0,1241	1811
Ti	ГЦУ	0,146	1933

Механічне легування проводили у високоенергетичному планетарному млині в розмельних стаканах з загартованої сталі зі сталевими кулями марки ШХ6 $\varnothing 10$ мм у середовищі спирту. Співвідношення маси порошку до куль становило 1:10, швидкість обертання – 580 об/хв.

Фазові перетворення

Таблиця 2.

Енергія зв'язку різних можливих атомних пар AlCuNiFeTi сплаву, кДж/моль [10]

Елемент	Al	Cu	Ni	Fe	Ti
Cu	-1	–	4	13	-9
Ni	-22	4	–	-2	-35
Al	–	-1	-22	-11	-30
Fe	-11	13	-2	–	-17
Ti	-30	-9	-35	-17	–

Етиловий спирт використовували як захисне середовище для запобігання окисленню сплаву та гальмування процесу холодного зварювання між частинками та приварювання порошку на розмельні тіла та стінки розмельного стакану.

Форму та розмір частинок порошків сплаву, а також їх мікроструктуру вивчали за допомогою скануючого електронного мікроскопу (СЕМ) РЕММА-101А, оснащеного енергодисперсійним детектором для встановлення хімічного складу порошку методом мікрорентгеноспектрального аналізу.

Формування фазового складу та структури порошкової суміші на різних етапах МЛ (2; 5; 7, 10, 15, 20 год) вивчали за допомогою рентгенівського дифрактометру Rigaku Ultima IV (Японія) в монохроматичному Cu K α випромінюванні. Тип кристалічної решітки твердого розчину, що формується під час МЛ, встановлювали за рядом співвідношення $\sin^2\theta_i/\sin^2\theta_1$, де θ_1 – кут дифракції першої лінії, θ_i – даної лінії. Для визначення періодів кристалічної решітки твердого розчину в якості стандарту використовували порошок кремнію, нанесений на поверхню порошкових пресовок.

На початкових стадіях МЛ відбувається подрібнення порошку з одночасним холодним зварюванням частинок в наслідок інтенсивної пластичної деформації під час дії розмельних тіл на порошок. Це призводить до формування більших за розміром частинок в початковий період процесу МЛ (рис. 1 а). Багаторазове повторення процесів подрібнення та холодного зварювання під час МЛ викликає поступове подрібнення порошкових агрегатів на малі частинки, що сприяє прискоренню взаємної дифузії металевих елементів і полегшенню проходження процесу легування між різними складовими порошкової суміші. Вже після 5 годин МЛ частинки порошку мають середній розмір біля 10 мкм в діаметрі (рис. 1 б), та практично однаковий хімічний склад по всьому об'єму кожної частинки (табл. 3). Зі збільшенням часу розмелу фракційний склад порошку не змінюється. Це свідчить про встановлення рівноваги між процесами подрібнення та агрегації частинок і про близькість завершення процесу механічного легування [11].

Порівняння мікроструктури поперечного перерізу частинок порошку на різних етапах МЛ наведено на рис. 2. На початковій стадії МЛ подрібнення та повторне холодне зварювання частинок приводить до утворення композиційної шаруватої структури порошку (рис. 2 а) вже після 0,5 годин розмелу. Зі збільшенням часу МЛ до 5

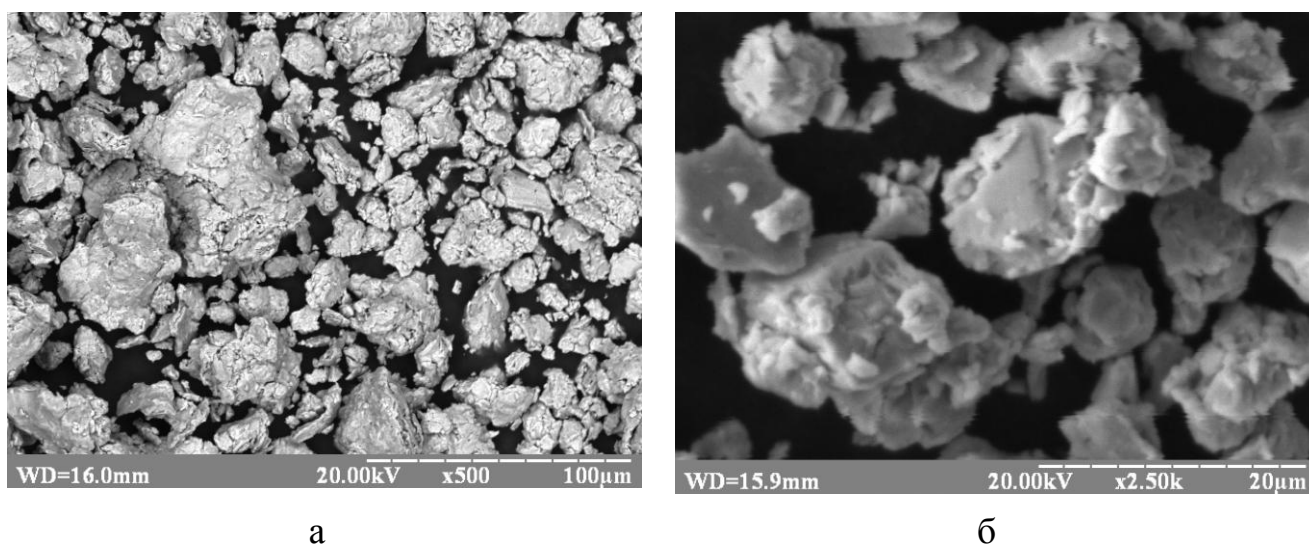


Рис. 1. СЕМ зображення порошку AlCuNiFeTi сплаву після механічного легування на протязі 0,5 (а) та 5 год. (б)

Таблиця 3.

Хімічний склад AlCuNiFeTi сплаву (ат. %)

Елемент	Al	Cu	Ni	Fe	Ti
номинальний	20	20	20	20	20
експеримент	18,85	18,74	21,37	20,43	20,61

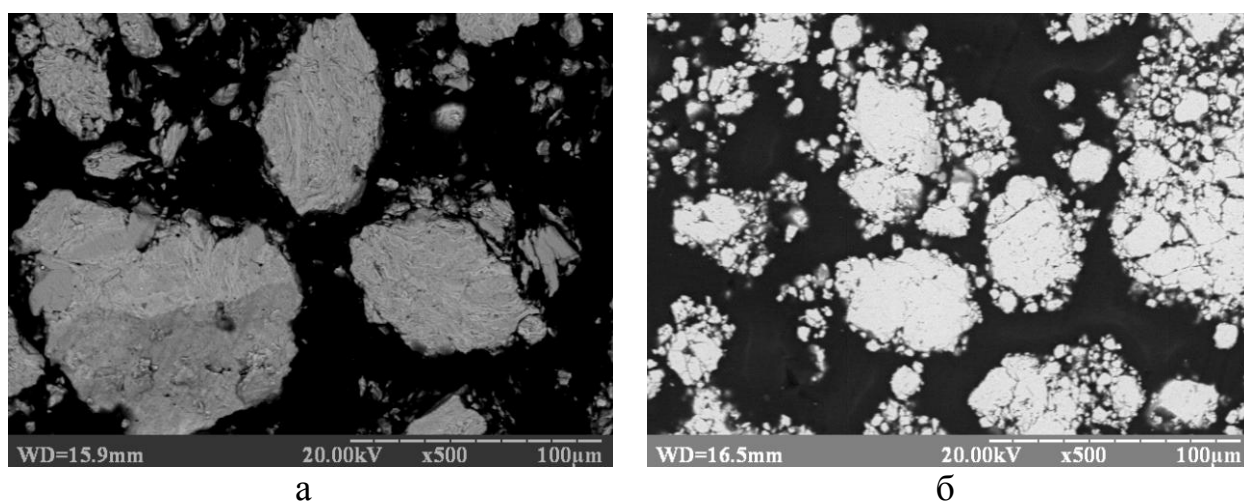


Рис. 2. СЕМ зображення мікроструктури поперечного перерізу частинок порошку сплаву AlCuNiFeTi після механічного легування на протязі: а – 0,5 год; б – 5 год.

годин формується однорідна структура, яка не має чітко виражених особливостей (рис. 2 б).

Серії перетворень під час механічного легування еквіатомної порошкової суміші Al-Cu-Ni-Fe-Ti на різних етапах розмелу наведено на рис. 3. Спектр рентгенівської дифракції, що відповідає вихідному стану порошкової суміші, представляє собою накладання дифракційних максимумів вихідних чистих компонентів. Вже на початковій стадії МЛ вихідної суміші порошків спостерігається значне розширення та зниження

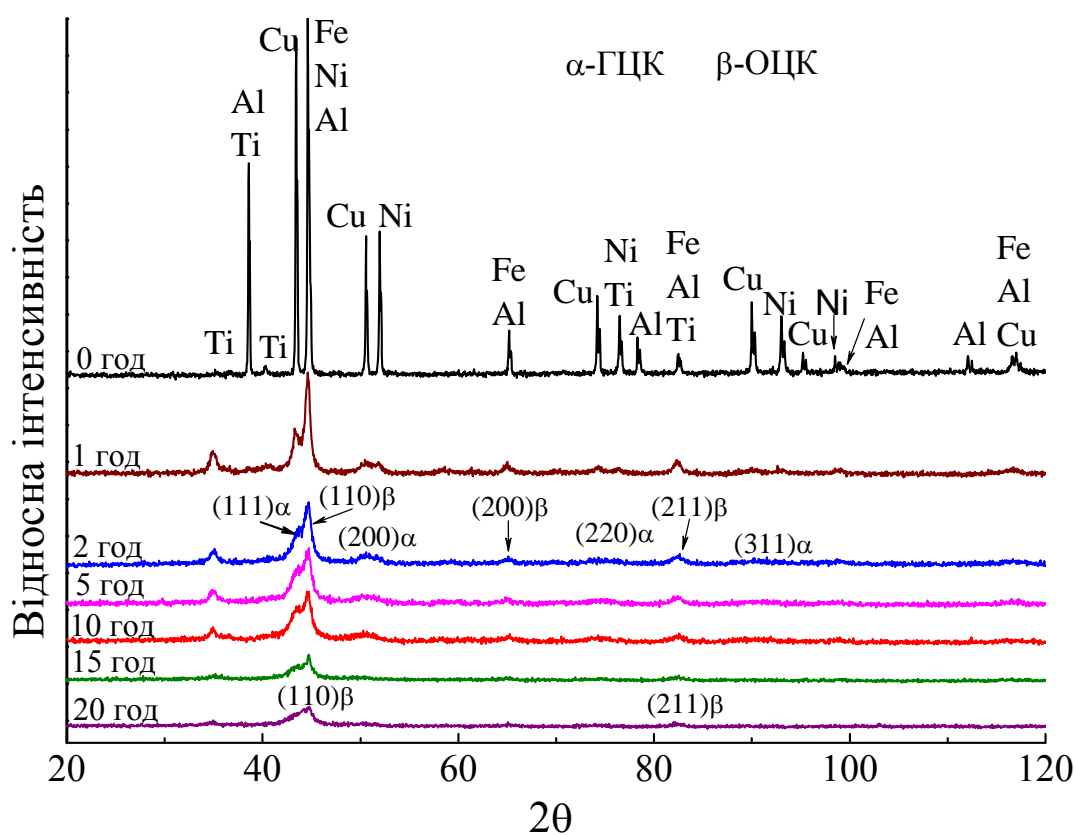


Рис. 3. Спектри рентгенівської дифракції AlCuNiFeTi сплаву на різних етапах МЛ

інтенсивності дифракційних максимумів і на великих кутах дифракції виявити їх дуже складно. Як видно з наведених даних, дифракційні максимуми, що належать Al, зникають значно швидше у порівнянні з максимумами, що належать іншим елементам. За 1 годину процесу МЛ дифракційні лінії Al повністю зникають, тоді як лінії Cu, Ni, Fe та Ti ще присутні. Це пов'язане з тим, що Al завдяки низькій температурі плавлення (табл. 2) першим розчиняється в інших елементах, які містяться в суміші. При цьому в дифракційному спектрі рефлекси від інших компонентів мають настільки сильне розмиття та малу інтенсивність, що на великих кутах дифракції виявити їх неможливо. Крім того, спостерігається перекривання сусідніх рефлексів. Зменшення інтенсивності та значне розширення дифракційних максимумів є невід'ємною ознакою формування нанокристалічної структури з високим рівнем мікронапружень внаслідок інтенсивної пластичної деформації в процесі МЛ [12, 13]. Формування нанокристалічного стану є передумовою початку механічного легування в зв'язку зі значним підвищенням коефіцієнтів дифузії компонентів порошкової суміші.

Через 2 години МЛ спостерігається одночасне формування ГЦК- та ОЦК-твердих розчинів (α - та β -фази), про що свідчать зміни в дифракційному спектрі, а саме, злиття максимумів Cu і Ni та зсув максимумів Fe в бік менших кутів у зв'язку з розчиненням в ньому компонентів суміші, при цьому максимум, що належить Ti, ще присутній. Параметри кристалічної решітки a ГЦК- та ОЦК- твердих розчинів, розраховані за положенням центрів ваги максимумів $(220)\alpha$ та $(211)\beta$, дорівнюють, відповідно, 0,3564

Фазові перетворення

та 0,2883 нм. При продовженні процесу МЛ до 5-10 годин фазовий склад сплаву, що формується, не змінюється, але відбувається подальше подрібнення структури, збільшення величини мікронапружень в твердих розчинах та окремих компонентах (Ti), про що свідчить поступове зменшення інтенсивності та розширення максимумів дифракції (рис. 3). Після 10 годин МЛ параметри кристалічної решітки a ГЦК- та ОЦК-твердих розчинів дорівнюють 0,3573 та 0,2905 нм, відповідно.

Збільшення часу МЛ до 15 годин приводить до повного зникнення інтерференцій від Ti та ГЦК твердого розчину (α -фази), тобто сплав стає однофазним та має ОЦК кристалічною решіткою, параметр якої збільшується у порівнянні з попереднім значенням і становить 0,2914 нм. Це свідчить про розчинення залишкового Ti та α -фази в ОЦК твердому розчині (β -фазі) на основі Fe. Після 20 годин МЛ період решітки твердого розчину майже не змінюється, показуючи завершення процесу МЛ та повне взаємне розчинення компонентів суміші.

Розрахувати середній розмір кристалітів, що формуються на різних етапах МЛ, за розширенням дифракційних максимумів дуже складно, тому що перші лінії, які належать ГЦК та ОЦК твердим розчинам, не можливо чітко відокремити.

З точки зору кінетики процесу, Cu та Ni, так само як і Al, є елементами з нижчою температурою плавлення (табл. 1) в дослідженому сплаві і тому легше розчиняються на ранніх стадіях МЛ. Повільніше зникнення дифракційних максимумів, що відповідають Fe і Ti, пов'язане з більш високою енергією зв'язку (найвищою температурою плавлення) в порівнянні з іншими елементами сплаву і отже, найменшою дифузійною рухомістю в процесі МЛ.

З термодинамічної точки зору, Cu та Ni є ГЦК утворювачами з перехідними металами, тоді як Al є стійким ОЦК утворювачем з перехідними металами завдяки формуванню спрямованих p-d гібридних орбіталей. Взагалі, ОЦК кристалічна структура є більш відкритою з коефіцієнтом заповнення 0,68, на відміну від більш щільноупакованих ГЦК і ГЦУ структур, отже, ОЦК решітка забезпечує розчинення (розміщення) інших елементів без значного розширення решітки та більш легко порівняно з ГЦК. Тому, всі елементи суміші розчиняються в Fe, що має більш відкриту ОЦК кристалічну структуру.

В процесі механічного легування в планетарному млині суміші порошків еквіатомного складу синтезовано п'ятикомпонентний високоентропійний AlCuNiFeTi сплав. Встановлено, що процес МЛ починається після 2-х годин інтенсивної пластичної деформації порошкових частинок та утворення нанокристалічної структури, що значною мірою активує процес дифузії та розчинення компонентів порошкової суміші в твердій фазі. За 20 годин МЛ формується ОЦК твердий розчин з нанокристалічною структурою та періодом кристалічної решітки 0,2914 нм. Інтерметалідні сполуки в сплаві відсутні.

Література

1. Yeh J.W., Chen S.K., Lin S.J., Gan J.Y., Chin T.S., Shun T.T., Tsau C.H., Chang S.-Y. Nanostructured high-entropy alloys with multiple principal elements; novel alloy design concepts and outcomes // J. Adv. Eng. Mater. – 2004. 6, No 5. – P. 299-303.
2. Yeh J.-W., Chen Y.-L., Lin S.-J. High-Entropy Alloys – A New Era of Exploitation // Materials Science Forum. – 2007. – 560. – P. 1 – 9.
3. Ranganathan S. Alloyed pleasures: Multimetallurgical cocktails // Current Science. – 2003. – 85, № 10. – P. 1404 – 1406.
4. Zhang Y., Zhou Y.J. Solid solution formation criteria for high entropy alloys // Materials science forum. – 2007. – 565. – P. 1337 – 1339.
5. Yang X., Zhang Y., Liaw P.K. Microstructure and Compressive Properties of NbTiVTaAlx High Entropy Alloys // Procedia Engineering. – 2012. – 36. – P. 292-298.
6. Pi J.H., Pan Y., Zhang L., Zhang H. Microstructure and property of AlTiCrFeNiCu high-entropy alloy // Alloys and Compounds. – 2011. – 18, № 509. – P. 5641-5645.
7. Varalakshmi S., Kamaraj M., Murty B. S. Formation and Stability of Equiatomic and Nonequiatom Nanocrystalline CuNiCoZnAlTi High-Entropy Alloys by Mechanical Alloying // Metallurgical and Materials Transactions A. – 2010. – 10, № 41. – P. 2703-2709.
8. Guo S., Liu C.T., Phase stability in heas: Formation of solid-solution phase or amorphous phase // Progress in Material Science: Materials International. – 2011. – 21. – P. 433-446.
9. Porter D.A., Easterling K.E., Phase Transformations In Metals And Alloys, 2nd Ed., Chapman & Hall, London, 1992. – 528 p.
10. F.R. de Boer, Boom R., Mattens W.C.M., Miedema A.R., Niessen A.K., Cohesion in Metals, 1st Ed., Elsevier Scientific Pub. Co, New York, 1988. – 482 p.
11. Кузьмич Ю. В., Колесникова И. Г., Серба В. И., Фрейдин Б. М. Механическое легирование. Монография. – М.: Наука, 2005. – 213 с.
12. Yeh J.-W., Chang S.-Y., Hong Y.-D., Chen S.-K., Lin S.-J. Anomalous decrease in X-ray diffraction intensities of Cu–Ni–Al–Co–Cr–Fe–Si alloy systems with multi-principal elements // J. Mater. Chem. Phys. – 2007. – 103, № 41. – P. 41 – 46.
13. Носкова Н.И., Мулюков Р.Р. Субмикроструктурные и нанокристаллические металлы и сплавы. – Екатеринбург: УрО РАН, 2003. – 279 с.

Отримано 15.04.14

А. И. Юркова, В. В. Чернявский, Ю.Н. Романенко

Структура и фазовый состав высокоэнтروпийного AlCuNiFeTi сплава, полученного методом механического легирования

Резюме

Методами сканирующей электронной микроскопии и рентгеноструктурного анализа исследованы особенности формирования фазового состава и структуры порошкового эквиатомного высокоэнтропийного AlCuNiFeTi сплава на разных этапах механического легирования (МЛ) в планетарной мельнице. Установлено, что в течение 20 часов МЛ формируется однофазный нанокристаллический высокоэнтропийный сплав со структурой ОЦК-твёрдого раствора.

O. I. Yurkova, V. V. Cherniavskyi, Y. M. Romanenko

Structure and phase composition of high-entropy AlCuNiFeTi alloy resulted from mechanical alloying

Summary

Phase transformation and structural evolution at mechanical alloying of powdered equiatomic multicomponent Al-Cu-Ni-Fe-Ti system have been investigated using scanning electron microscopy (SEM) and X-ray diffraction (XRD) analysis. It was justified experimentally that MA of AlCuNiFeTi powder mixture during 20 hours resulted in a single-phase nanocrystalline high-entropy alloy with a structure of BCC-solid solution.